

К ТЕОРИИ ПОГРАНИЧНЫХ СОСТОЯНИЙ В ГЕТЕРОПЕРЕХОДАХ

Шадрин В. Д.

Рассмотрены условия существования пограничных состояний в абсолютной запрещенной энергетической щели резкого гетероперехода, образованного кейновскими полупроводниками. Расчеты проводятся в модели, учитывающей действие микропотенциала границы раздела на огибающие блоховских функций. Показано, что пограничные состояния могут существовать в запрещенной энергетической щели не только инверсного гетероперехода, но и гетероперехода, составленного из гетеропар с нормальной зонной структурой. Рассчитаны вероятность резонансного межзонного туннелирования через пограничные состояния, а также вероятность их фотоионизации.

Пограничные состояния (ПС) в гетеропереходах аналогично талмовским состояниям представляют собой локализованные вблизи границы раздела решения уравнения Шредингера. В гетеропереходах на основе узкозонных полупроводников ПС могут быть описаны на языке отыкающих блоховских функций ближайших зон. При таком подходе проблема состоит в задании условий спивки огибающих на границе раздела. Чаще всего используются условия непрерывности огибающих. Однако такие условия спивки, хотя и соответствуют сохранению потока частиц через границу, предполагают зеркальную симметрию быстроосциллирующих блоховских функций относительно плоскости раздела гетеропар. Ясно, что в реальных системах это предположение может не выполняться. В частности, это относится к напряженным слоистым структурам с изначально различающимися (до 5 %) постоянными решетки. Условия спивки, учитывающие различие блоховских функций, выведены в работах [1, 2] в приближении эффективной массы и состоят в том, что действие границы раздела эквивалентно добавлению к макропотенциалу скачка зон в уравнение для огибающих одномерного короткодействующего потенциала типа δ -функции.

В настоящей работе для описания действия границы раздела принята однопараметрическая модель [1, 2], обобщенная на уравнения для огибающих в кейновских полупроводниках. Таким образом, для описания ПС используется модель, аналогичная модели Луковского для расчетов глубоких уровней в полупроводниках. Как и в модели Луковского, «сила» δ -функции должна определяться из сравнения рассчитанных положений зон ПС с экспериментально измеренными. Пограничные состояния в резких гетеропереходах (ГП) на основе узкозонных полупроводников рассчитывались ранее Сурисом [3] с использованием условий непрерывности огибающих. При этом ПС локализованы по энергиям вне абсолютной запрещенной щели ГП, за исключением инверсного ГП, в котором пограничные состояния существуют всегда и лежат в середине запрещенной щели. В настоящей работе показано, что в модели [1, 2] возможно существование ПС и в абсолютной запрещенной щели гетероперехода. Такие ПС, не перекрывающиеся с объемным энергетическим спектром полупроводников, составляющих гетеропары, должны играть важную роль как в статических, так и в кинетических процессах. Здесь рассмотрены два эффекта, связанных с существованием ПС в абсолютной запрещенной щели: межзонное туннелирование через ПС и фотоионизация заполненных электронами ПС.

1. Условия спшивки для огибающих и расчет положений подзон ПС

Исходим из уравнений кейновской модели для огибающих блоховских функций зоны проводимости $u_n(r)$ и трех валентных зон $v_n(z)$ X-, Y- и Z-типа (рассматриваются полупроводники со слабым спин-орбитальным взаимодействием; индекс $n=1, 2$ нумерует гетеропары; ось Oz перпендикулярна границе раздела)

$$\begin{aligned} [E - \Delta_n - V_n(z) - 2\gamma s \delta(z)] u_n(r) - s \hat{k} v_n(r) &= 0, \\ [E + \Delta_n - V_n(z) - 2\gamma s \delta(z)] v_n(r) - s \hat{k} u_n(r) &= 0. \end{aligned} \quad (1)$$

Здесь Δ_n — полуширина запрещенной зоны каждой из гетеропар ($\Delta_1 \leqslant |\Delta_2|$), E — энергия, отсчитываемая от середины запрещенной зоны каждого полупроводника, $s = \sqrt{\Delta_1/m_1} = \sqrt{\Delta_2/m_2}$ — межзональный матричный элем-

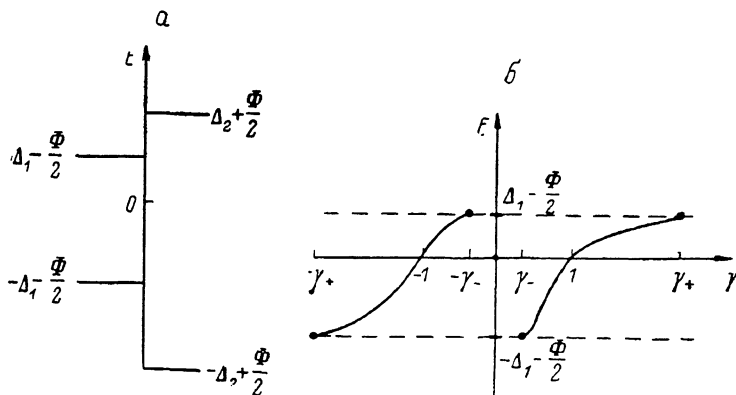


Рис. 1. Энергетическая схема ГП I типа (а) и зависимость энергии ПС от параметра γ (б) $[\gamma_{\pm} = (\sqrt{2\Delta_2} \pm \sqrt{\Delta_2 + \Delta_1 - \Phi})/\sqrt{\Delta_2 - \Delta_1 + \Phi}]$.

мент скорости, m_n — эффективные массы электронов и легких дырок (масса тяжелых дырок $m_H \rightarrow \infty$), $\hat{k} = -i\nabla$ — оператор импульса ($\hbar=1$), $V_n(z)$ — макропотенциал скачка зон, $\delta(z)$ — δ -функция, γ — безразмерный параметр, описывающий действие границы раздела на огибающие.

Полагая $u_n(r) = u_n(z) \exp(ik_{\parallel}r)$, $v_n(r) = v_n(z) \exp(ik_{\parallel}r)$, где $r = (x, y)$, k_{\parallel} — импульс, параллельный плоскости раздела, и интегрируя (1) в окрестности $z=0$, получим условия спшивки

$$\begin{pmatrix} u_2(0) \\ v_{2x}(0) \end{pmatrix} = \begin{pmatrix} a_{11} & a_{12} \\ a_{21} & a_{22} \end{pmatrix} \begin{pmatrix} u_1(0) \\ v_{1x}(0) \end{pmatrix}. \quad (2)$$

Здесь $a_{11} = a_{22} = [(1 - \gamma^2)/(1 + \gamma^2)]$, $a_{12} = a_{21} = -[2i\gamma/(1 + \gamma^2)]$. Ограничившись далее рассмотрением резких гетеропереходов [$V_1(z) = -\Phi/2$, $V_2(z) = \Phi/2$] и используя (1) и (2), получим дисперсионное уравнение для определения спектра пограничных состояний

$$x_1 + x_2 + \delta(1 - x_1 x_2) = 0, \quad (3)$$

где $x_n = [s^2 k_{\parallel}^2 + \Delta_n^2 - (E - V_n)^2]^{1/2}/[\Delta_n + E - V_n]$, $\delta = [2\gamma/(1 - \gamma^2)]$.

Как следует из (3), энергии и условия существования ПС зависят от параметра δ , который в свою очередь однозначно определяется величиной γ . Изучим решения (3) для основных типов гетеропереходов.

1) ГП I типа с вложенными запрещенными зонами. В такого рода ГП запрещенная зона одной гетеропары вложена в запрещенную зону другой (рис. 1, а) и, следовательно, $|\Phi| \leqslant |\Delta_2 - \Delta_1|$. Для $k_{\parallel} = 0$ получим единственное решение (3)

$$E(k_{\parallel}=0) = E_s = -\Delta_1 - \frac{\Phi}{2} + \frac{2\Delta_1}{1+x_1^2},$$

где

$$x_1 = \frac{2\delta\Delta_2 + \{(1 + \delta^2)[\delta^2((\Delta_1 + \Delta_2)^2 - \Phi^2) + (\Delta_2 - \Delta_1)^2 - \Phi^2]\}^{1/2}}{\delta^2(\Delta_2 + \Delta_1 + \Phi) + (\Delta_2 - \Delta_1 - \Phi)}.$$

Зависимость энергии E_s дна подзоны пограничных состояний от параметра γ изображена на рис. 1, б, из которого следует, что в данной модели в отличие от [3] ПС появляются в абсолютной энергетической щели. Получим также выражение для эффективной массы электронов в подзоне ПС, подставив $E = E_s + (k_{||}^2/2)$

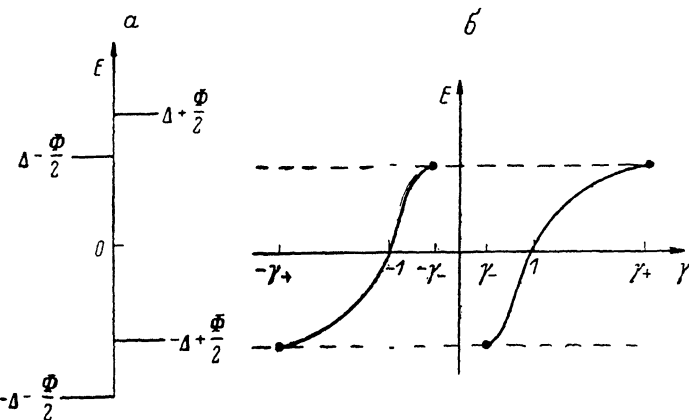


Рис. 2. Энергетическая схема ГП II типа (а) и зависимость энергии ПС от параметра γ (б)
 $[\gamma_{\pm} = (\sqrt{2\Delta} \pm \sqrt{2\Delta - |\Phi|})/\sqrt{|\Phi|}]$.

2m) в (3) и разрешив это уравнение относительно m , для симметричного ГП ($\Phi=0$)

$$ms^2 = \frac{\Delta_1(\Delta_2 - E_s)^{3/2}(\Delta_2 + E_s)^{1/2} + \Delta_2(\Delta_1 - E_s)^{3/2}(\Delta_1 + E_s)^{1/2} + \delta(\Delta_1 + \Delta_2)(\Delta_1\Delta_2 - E_s^2)}{(\Delta_2 - E_s)^{3/2}(\Delta_2 + E_s)^{1/2} + (\Delta_1 - E_s)^{3/2}(\Delta_1 + E_s)^{1/2} + \delta(\Delta_1^2 + \Delta_2^2 - 2E_s^2)}.$$

В частных случаях: а) $|\gamma|=1$, $E_s=0$, $m=m_1m_2$ [$(m_1+m_2)/(m_1^2+m_2^2)\Delta_2 \gg \Delta_1$, $m=m_1$; в) $\gamma=0$, $E_s=-\Delta$, $m=m_1$; г) $\Delta_2=\Delta_1$, $m=m_1$.

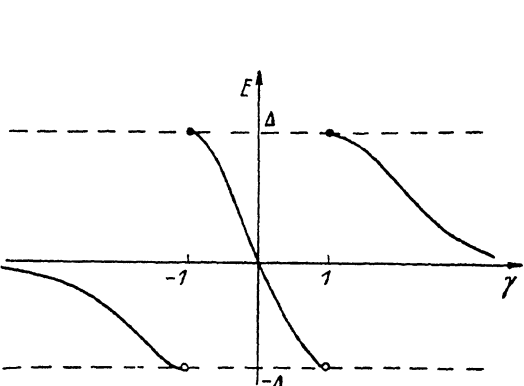


Рис. 3. Энергии ПС в инверсном ГП ($\Delta_1 = \Delta$, $\Delta_2 = -\Delta$) в зависимости от γ .

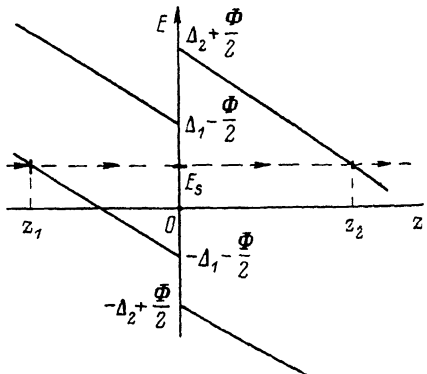


Рис. 4. Энергетическая схема ГП во внешнем поле (к расчету туннель-рования через ПС).

2) Гетероструктуры II типа с перекрывающимися запрещенными зонами. Ограничимся рассмотрением ситуации, в которой $\Delta_1 = \Delta_2 = \Delta$. В этом случае существует абсолютная энергетическая щель $-\Delta + (|\Phi|/2) < E < \Delta - (|\Phi|/2)$ (рис. 2, а). Решением (3) является (4), в котором следует положить $\Delta_1 = \Delta_2 = \Delta$. Зависимость положения E_s дна подзоны от параметра γ изображена на рис. 2, б. Как и для гетеропереходов I типа, существует область значений γ , при которых ПС расположены в абсолютной энергетической щели ГП.

3) Инерсный симметричный ГП ($\Delta_1 = \Delta$, $\Delta_2 = -\Delta$). Как известно, в плавном инверсном ГП всегда существуют ПС. В резком гетеропереходе они возникают в середине запрещенной зоны [3] при условиях непрерывности огибающих. В используемом здесь подходе подзона ПС при $|\gamma| \rightarrow 1$ смещается из середины запрещенной зоны к ее краям (рис. 3).

Таким образом, основное отличие условий возникновения ПС в рамках нашей модели от модели [3] состоит в возможности существования их при $k_{\parallel}=0$ в абсолютной запрещенной энергетической щели гетероперехода. Существование таких пограничных состояний должно приводить к ряду эффектов (например, гибридизации ПС и размерно-квантованных состояний в квантовых ямах, туннелированию через ПС, поглощению излучения заполненными пограничными состояниями). Поскольку эффекты гибридизации подробно рассматривались в [4] в применении к размерно-квантованным и талмовским состояниям в тонких пленках, в настоящей работе рассматриваются два эффекта, связанных с существованием ПС в абсолютной энергетической щели гетероперехода, а именно: межзонное туннелирование через ПС и фотоионизация заполненных электронами ПС.

2. Межзонное туннелирование через ПС

Рассмотрим ГП I или II типа в квазиклассическом внешнем электрическом поле (рис. 4). Квазиклассические решения уравнения (1) для огибающих в надбарьерных

$$u_n(z) = [k_n(z)]^{-1/2} \left\{ A_n \exp \left[-i \int_z^{z_n} k_n(z) dz \right] + A'_n \exp \left[i \int_z^{z_n} k_n(z) dz \right] \right\}, \quad (5)$$

и подбарьерных областях

$$u_n(z) = (|k_n(z)|)^{-1/2} \left\{ B_n \exp \left[- \int_{z_n}^z |k_n(z)| dz \right] + B'_n \exp \left[\int_{z_n}^z |k_n(z)| dz \right] \right\}, \quad (6)$$

здесь $k_n(z) = s^{-1} [s^2 k_{\parallel}^2 + (E + V_n(z))^2]^{1/2}$, z_n — координаты точек поворота.

Используя формулы связи, следующие из квазиклассических условий спивки решений (5) и (6) $A_n = \exp[i(\pi/4)][(B_n/2) - iB'_n]$, $A'_n = \exp[-i(\pi/4)][(B_n/2) + iB'_n]$, для волны, падающей слева направо ($A_2 = 0$), получим выражение для коэффициента туннельной прозрачности

$$T = 1 - \left| \frac{A'_1}{A_1} \right|^2 = \frac{4T_1 T_2 X_+ X_-}{(4T_1 X_+ + T_2 X_-)^2 + X^2}, \quad (7)$$

где $X_{\pm} = \delta(1+x_1x_2) \pm (x_2-x_1)$, $X = \delta(1-x_1x_2) + x_1 + x_2$. При выводе (7) использованы условия (2) спивки на гетерогранице; $T_1 = \exp \left(-2 \int_{z_1}^0 |k_1(z)| dz \right)$ и

$T_2 = \exp \left(-2 \int_0^{z_2} |k_2(z)| dz \right)$ — туннельные прозрачности барьеров в каждой из гетеропар. Учитывая, что $X=0$ является дисперсионным уравнением (3) для пограничных состояний, получим из (7)

$$T = \frac{4T_1 T_2 X_+ X_-}{4T_1 X_+ + T_2 X_-} \pi \left| \frac{dE}{dX} \right| \delta [E - E_s(k_{\parallel})]. \quad (8)$$

Из (8) следует, что туннельная прозрачность гетероперехода с ПС определяется барьером с наименьшей прозрачностью. При этом резонансный туннельный ток через ГП, коэффициент прозрачности которого дается выражением (8), существенно превышает компоненту туннельного тока, связанную с нерезонансным межзонным туннелированием $T = 4T_1 T_2 (X_+ X_- / X^2)$. Полученные здесь результаты находятся в качественном соответствии с результатами рассмотрения резонансного туннелирования через примесные состояния, локализованные в барьере [5].

3. Фотоионизация ПС

Вычислим вероятность оптических переходов из подзоны ПС в зону проводимости. Рассмотрим мелкие ПС на границе раздела гетеропар с совпадающими запрещенными зонами $\Delta_1 = \Delta_2 = \Delta$. Используя (1) и (2), получим спектральные функции электронов в ПС

$$E_s(k_{\parallel}) = \frac{\xi^2 \Delta + \sqrt{\Delta^2 + k_{\parallel}^2} (1 + \xi^2)}{1 + \xi^2},$$

$$u_i(z) = \frac{\sqrt{m\Delta}}{2} \begin{cases} \exp(k_z z), & z < 0, \\ -\operatorname{sgn} \delta \exp(-k_z z), & z \geq 0, \end{cases} \quad (9)$$

где

$$\xi = \begin{cases} \frac{1}{\delta}, & \delta > 0, \\ -\delta, & \delta \leq 0, \end{cases} \quad k_z = s^{-1} \sqrt{s^2 k_{\parallel}^2 + \Delta^2 - E_s^2}.$$

Волновые функции конечных состояний в зоне проводимости выбираем в виде (l — нормировочная длина)

$$u_f(z) = \frac{1}{\sqrt{l}} \begin{cases} \exp(ikz) + A \exp(-ikz), & z < 0, \\ B \exp(ikz), & z \geq 0, \end{cases} \quad (10)$$

где

$$A = \frac{i\delta(\beta - \beta^{-1})}{1 - \delta^2 + i\delta(\beta + \beta^{-1})}, \quad B = \frac{1 + \delta^2}{1 - \delta^2 + i\delta(\beta + \beta^{-1})}.$$

Вероятность фотоионизации состояний в подзоне равна

$$z^{-1} = \frac{2\pi}{\hbar} \sum_{k_{\parallel}, k} |\langle u_f | \hat{H} | u_i \rangle|^2 f(E_i) [1 - f(E)] \delta(E - E_i - \hbar\omega).$$

Здесь $f(E_i)$ и $f(E)$ — функции распределения электронов в начальном и конечном состояниях,

$$\hat{H} = -\frac{e}{mc} \frac{2\Delta}{(\Delta + E)} \left(\frac{(2\pi N \hbar c^2)^{1/2}}{V n_r^2 \omega} \right) \exp(iqz) \hat{p}_z$$

— гамильтониан взаимодействия электронов с излучением в представлении волновых функций $u_n(r)$ (учитываются лишь переходы, вызванные поляризованным вдоль оси Oz излучением, поглощением света с другой поляризацией, обусловленным слабой непарabolicностью зон начальных и конечных состояний, пренебрегаем). В последнем выражении c — скорость света, q и ω — волновой вектор и частота излучения, n_r — показатель преломления среды, N — число фотонов в объеме V , $\hat{p}_z = -i \frac{\partial}{\partial z}$ — оператор импульса.

Приведем выражение для квадрата матричного элемента импульса, вычисленного на волновых функциях (9) и (10),

$$|\langle u_f | \hat{p}_z | u_i \rangle|^2 = \frac{\sqrt{2m}}{\omega l} \frac{(\Delta - E_s)^{1/2}}{\Delta^{3/2}} T(E_{\perp}), \quad (11)$$

где $T(E_{\perp}) = E_{\perp}/(E_{\perp} + \Delta - E_s)$ — коэффициент прохождения электронов зоны проводимости через гетерограницу (напомним, что гетеробарьера нет, так как $\Delta_1 = \Delta_2$ и $\Phi = 0$), $E_{\perp} = E - \Delta - (\hbar^2 k_{\parallel}^2 / 2m)$ — кинетическая энергия перпендикулярного границе раздела движения электронов.

Формула для квантового выхода $\eta = (ln_r/cN_{\perp}\tau)$ процесса фотоионизации пограничных состояний при низких температурах имеет вид

$$\eta = \frac{e^2}{\hbar c} \frac{E_F E_{ss}^{1/2} \sqrt{\hbar\omega - E_{ss}}}{\Delta^2 (\hbar\omega)^3}, \quad (12)$$

где $E_{ss} = \Delta - E_s$, E_F — энергия Ферми электронов, заполняющих подзону ПС. Отметим, что формула (12) в отличие от вероятности фотоионизации электронов

в квантовой яме не имеет особенностей [6]. Это связано с плавной зависимостью коэффициента прохождения, фигурирующего в (11), от энергии.

В заключение проанализируем зависимость квантового выхода фотоионизации изотипного гетероперехода от концентрации N_d донорной примеси в гетеропарах, т. е. выразим энергию Ферми E_F через N_d . В приближении истощенного слоя, используя условие электронейтральности, имеем

$$2N_d L = n_{ss} = \frac{m}{\pi \hbar^2} E_F, \quad (13)$$

где $L = (\epsilon \mathcal{V} / 2\pi e^2 N_d)^{1/2}$ — толщина слоя истощения, $\mathcal{V} = E_{ss} - E_F - E_d$ — величина изгиба зон, n_{ss} — поверхностная концентрация электронов в ПС, E_d — энергия ионизации мелких доноров. Разрешив (13) относительно E_F , получим

$$E_F = \{\sqrt{E_0 [E_0 + 4(E_{ss} - E_d)]} - E_0\}/2. \quad (14)$$

Здесь $E_0 = 4\pi E_d (N_d a_B^3)$, a_B — боровский радиус мелкой примеси.

При условии $E_0 \ll E_{ss} - E_d$ получим из (14) $E_F = \sqrt{E_0 (E_{ss} - E_d)} \sim \sqrt{N_d}$. При высоких концентрациях легирующей примеси, таких, что выполняется условие $E_0 \gg E_{ss} - E_d$, уровень Ферми «привязан» к уровню примеси и не зависит от ее концентрации: $E_F = E_{ss} - E_d$. Последнее неравенство при $N_d a_B^3 \ll 1$ может выполняться, если $E_{ss} - E_d \leq E_d$. Очевидно, для глубоких ПС (в смысле выполнения неравенства $E_{ss} \gg E_d$) всегда $\eta \sim \sqrt{N_d}$. Для мелких ПС зависимость $\eta \sim \sqrt{N_d}$ при малых концентрациях примесей и выходит на насыщение с увеличением N_d .

В заключение кратко резюмируем полученные результаты. В использованной здесь модели, которая учитывает различие блоховских функций в контактирующих полупроводниках, т. е. влияние микропотенциала границы раздела на огибающие, пограничные состояния появляются в абсолютной запрещенной щели гетероперехода. Это обстоятельство приводит к появлению ряда эффектов, два из которых рассмотрены в настоящей статье. Экспериментальное наблюдение этих эффектов позволило бы ответить на вопросы, существуют ли в реальных системах пограничные состояния описанного типа и насколько оправдано применение для их описания предложенной здесь простой однопараметрической модели.

Список литературы

- [1] Kroemer H., Qi-Gao Zhu // J. Vac. Sci. Techn. 1982. V. 21. N 2. P. 551—552.
- [2] Qi-Gao Zhu, Kroemer H. // Phys. Rev. B. 1983. V. 27. N 6. P. 3519—3527.
- [3] Сурик Р. А. // ФТП. 1986. Т. 20. В. 11. С. 2008—2015.
- [4] Волков В. А., Пинскер Т. Н. // ЖЭТФ. 1974. Т. 70. В. 6. С. 2268—2278.
- [5] Чаплик А. В., Энтин М. В. // ЖЭТФ. 1974. Т. 67. В. 7. С. 208—218.
- [6] Осипов В. В., Серженко Ф. Л., Шадрин В. Д. // ФТП. 1989. Т. 23. В. 5. С. 809—812.

Получена 22.09.1989
Принята к печати 24.10.1989